

**ЭКСПЕРИМЕНТАЛЬНОЕ ИССЛЕДОВАНИЕ
УСТОЙЧИВОСТИ ГОРЕНИЯ КАПЕЛЬ ТОПЛИВА
В ТУРБУЛЕНТНОМ ПОТОКЕ**

P. С. Тюльпанов, А. И. Алимпиев

(Новосибирск)

В ранее опубликованных работах по устойчивости факела горения капель топлива [1—3] описаны исследования в ламинарном потоке, т. е. рассмотрено стационарное взаимодействие потока и капель. В этих работах было показано, что устойчивость горения капель зависит от давления, температуры потока, содержания кислорода в нем и скорости газа относительно капель. Если горение происходит в турбулентном потоке, то взаимодействие потока с каплями будет нестационарным (влияние турбулентных пульсаций), и устойчивость горения будет определяться как вышеперечисленными величинами, так и турбулентными характеристиками потока (степенью или интенсивностью турбулентности, масштабом турбулентности и степенью неоднородности их в потоке). Исходя из этого нельзя данные, полученные для горения капель в ламинарном потоке, непосредственно переносить на горение их в турбулентном потоке.

Устойчивость индивидуальных факелов горения капель топлива при давлении их ансамбля в турбулентном потоке исследовали на экспериментальной установке, приведенной на рис. 1. Рабочий участок представлял горизонтальную трубу квадратного сечения $50 \times 50 \text{ см}^2$. Верхняя и нижняя плоскости трубы имели регулярную шероховатость в виде поперечных ребер 3 с отношением высоты к шагу 1 : 2 и с высотой шероховатости 2,5 мм (относительная степень шероховатости 0,1). В зоне наблюдения 4 две другие (боковые) стороны выполнялись из кварцевых пластин. Рабочий участок помещался в барокамеру с боковыми окнами из оптического стекла, поддерживающими давление до 20 ата. Топливо из центробежной форсунки 1 подавалось в поток воздуха. Для получения более однородного спектра использовалась лишь часть факела, вырезанного в виде полукольца концентричной оси форсунки. Топливный факел был направлен по потоку воздуха. На расстоянии нескольких калибров трубы от места подачи топлива через щели с двух сторон подводился водород 2 для создания дежурного факела 5, воспламеняющегося пролетающие капли топлива.

Через боковые окна производилось фотографирование теплеровской картины горения с помощью прибора ИАБ-451. Источником света при фотографировании служила серия вспышек, полученная при разрядке батареи высоковольтных конденсаторов через искровой промежуток,

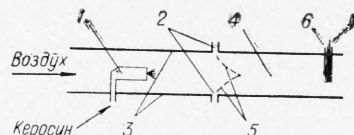


Рис. 1. Схема экспериментальной установки:

1 — форсунка; 2 — водород; 3 — турбулизирующие ребра; 4 — зона наблюдения; 5 — дежурный факел; 6 — газовый анализ; 7 — термопара.

заполненный водородом. Продолжительность одной искры ориентировочно 10^{-5} сек. Фотографировали фоторегистром ФР-11. Это позволило получить «мгновенные» фотографии горящих капель при сравнительно умеренных скоростях движения до 100 м/сек. Для получения треков горящих капель источником света была ртутная лампа. Через эти же окна велось и визуальное наблюдение за воспламенением факела.

Температура газа в зоне наблюдения 4 измерялась отсосной охлаждаемой платина-платинородиевой термопарой 7. Отбор газа для анализа осуществлялся через отдельный канал 6, размещенный в кожухе термопары, чтобы избежать каталитического окисления забираемых продуктов сгорания.

Многие параметры измерялись не в процессе огневых опытов, а предварительно в изотермических условиях с дальнейшим пересчетом. Это, в частности, относится к определению размеров капель топлива и измерению характеристик турбулентного потока.

Для улавливания капель из потока был изготовлен специальный заборник, изображенный на рис. 2. В каждом из двух коаксиальных цилиндров 2 и 3 сделаны вертикальные щели длиной 50 мм. Во внутренний цилиндр помещалось предметное стекло 4 в плоскости, перпендикулярной направлению потока. Внешний цилиндр и предметное стекло закреплялись неподвижно, а внутренний цилиндр мог вращаться под действием пружины 1. В момент совпадения щелей внешнего и внутреннего цилиндров капли из потока попадали на предметное стекло. Поверхность предметного стекла покрывалась диметилдихлорсиланом. Сразу же после забора капель производилось микрофотографирование центральной части стекла. Дальнейшая обработка велась в соответствии с методикой, описанной в [4, 5].

Как показывают многочисленные эксперименты, при расплыве жидкости центробежными форсунками спектр размеров капель хорошо описывается нормальным Гауссовским законом:

$$W = e^{-\left(\frac{d}{d_0}\right)^m},$$

где W — весовая доля капель диаметра большего d_0 ; d_0 — весовой медианный диаметр капли, м; d — диаметр капли, м; m — показатель полидисперсионности.

Для форсунки, использованной в экспериментах, были получены в результате предварительных измерений $m=2,5$, $d_0=90$ к.

Были измерены поля средних скоростей и турбулентные характеристики потока в рабочей части экспериментальной установки. Средние скорости потока определялись по показаниям трубы Пито и измерениям статического давления на стенке. Измерение турбулентности производилось термоанемометром конструкции Ленинградского политехнического института. В качестве меры степени турбулентности ϵ в работе принято отношение среднеквадратичного отклонения скорости потока к средней расходной скорости [6].

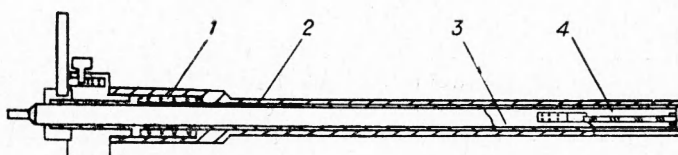


Рис. 2. Схема заборника капель.

$$\varepsilon = \frac{\sqrt{(\bar{u}')^2}}{\bar{u}_{cp}}.$$

Следует ожидать, что при умеренных скоростях потока и расположении нити термоанемометра перпендикулярно вектору средней скорости, средние по времени значения пульсационной скорости, полученные в Эйлеровом представлении течения, могут с известным приближением рассматриваться как среднеквадратичные значения пульсационной скорости $\sqrt{(\bar{u}')^2}$ (в Лагранжевом описании течения). Значения \bar{u}' получены для различных точек течения непосредственным осреднением в схеме измерений пульсаций скорости потока термоанемометром. Значения \bar{u}_{cp} получены по расходу воздуха через установку с помощью мерной шайбы:

$$\bar{u}_{cp} = \frac{G}{\rho F},$$

где \bar{u}_{cp} — среднерасходная скорость потока, м/сек; G — расход воздуха, кг/сек; ρ — плотность воздуха, кг/см³; F — поперечное сечение рабочего участка трубы, м².

На рис. 3 представлены поля средней скорости и значения интенсивности турбулентности (между шероховатыми стеклами от центра до стенок $h/H=0,9$). Ядро потока $0 < \frac{h}{H} < 0,5$ можно охарактеризовать определенным значением $\varepsilon = 0,052 \pm 0,001$. Для определения масштаба турбулентности были сняты осцилограммы пульсаций скорости потока (в Эйлеровом представлении течения) при различных Re трубы при $h/H=0$ и $h/H=0,8$. Эти осцилограммы обрабатывались в соответствии с принятыми в теории турбулентных течений и определялись значения коэффициента Эйлеровой временной корреляции R_E :

$$R_E(\tau) = \frac{\bar{u}(t) \cdot \bar{u}(t+\tau)}{(\bar{u}')^2};$$

где $\bar{u}(t)$ и $\bar{u}(t+\tau)$ — значения пульсационных скоростей в некоторой фиксированной точке в момент t и $t+\tau$.

Строя зависимость $R_E(\tau) = f(\tau)$, находили значения Эйлерова интегрального масштаба времени J_E . Для определения пространственного интегрального масштаба по этим данным использовалась гипотеза Тейлора $\frac{\partial}{\partial t} = -u \frac{\partial}{\partial x}$, справедливая, вообще говоря, только для однородного течения с постоянной средней скоростью \bar{u}_{cp} в направлении x . Для течения с поперечным сдвигом, имеющим место в настоящем случае, эти соотношения выполняются лишь в известном приближении. Тогда пространственный интегральный масштаб будет $\Delta f = \bar{u}_{cp} J_E$. Некоторые эмпирические соотношения позволяют думать, что порядок

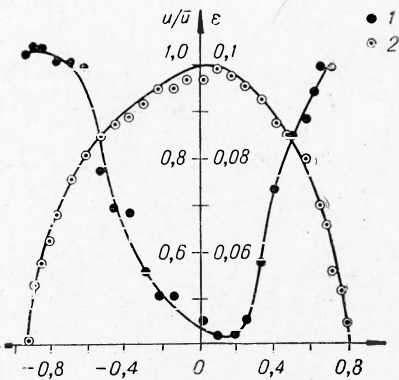


Рис. 3. Поля степени турбулентности и средней скорости по сечению канала.

1 — кривая, характеризующая степень турбулентности в потоке; 2 — кривая поля средней скорости.

величины Λ_f и Λ_L (пространственный масштаб в Лагранжевом представлении) одинаковы, что позволило определить значение Λ_L по данным проведенных экспериментов. Для режимов, при которых производились эксперименты, величина Λ_L на два порядка больше, чем средний размер капель топлива, и составляет 7–30 мм, т. е. выполняются условия $\frac{d_0}{\Lambda_f} \ll 1$.

Опыты производились с керосином марки Т-1 в диапазоне изменения температуры от 350 до 1700° К, концентрации кислорода в газе CO_2 от 14 до 35%, давления от 1,3 до 4,5 ата, концентрации капель от 10 до 40 капель в cm^3 . Средний размер капель во всех экспериментах 90 мк.

Эксперименты проводились по следующей схеме: при определенном расходе водорода изменением подачи воздуха находился режим «срыва» пламени с горящих капель. Наступление этого режима определялось визуально по менее яркому свечению горящих капель и уменьшению общего числа треков. При выходе на режим «срыв» производилась регистрация давления, температуры в зоне наблюдения, расхода воздуха, отбирался газ для анализа. Затем меняли подачу водорода, что изменяло температуру в зоне наблюдения и повторяли все операции. В ряде экспериментов производилась дополнительная подача кислорода в поток воздуха.

В результате экспериментов была получена зависимость средней пульсационной скорости, при которой происходит срыв пламени с капель, от температуры и содержания кислорода в потоке (рис. 4). Эта величина может служить наглядной характеристикой устойчивости горения капли топлива в турбулентном потоке аналогично «срывной скорости», определяемой [2, 3].

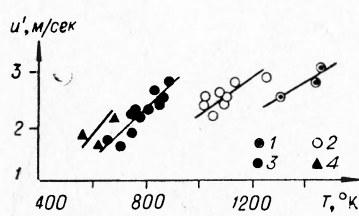


Рис. 4. Зависимость средней пульсационной скорости срыва от температуры.
Кислорода в газе: 1 – 14%; 2 – 16%;
3 – 18%; 4 – 22%.

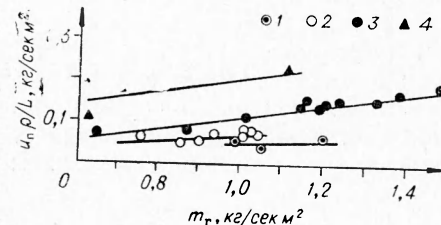


Рис. 5. Зависимость комплекса $u_n \rho / L$ от m_r .
Кислорода в газе: 1 – 14%; 2 – 16%; 3 – 18%;
4 – 22%.

Далее предпринималась попытка проверки применимости соотношения Спэлдинга, характеризующего устойчивость горения жидкого топлива, на случай горения распыленного топлива в турбулентном потоке. Спэллинг [1] показал, что горение устойчиво, если

$$\frac{u_n \rho}{L} \geq m_s,$$

где u_n — нормальная скорость распространения ламинарного пламени в гомогенной топливо-воздушной смеси, м/сек; ρ — плотность газа, кг/см³; L — количество газа (при данном содержании кислорода), приходящееся на грамм топлива в стехиометрической смеси; m_s — массовый поток топлива через поверхность расположения пламени, кг/м² · сек. Обработка полученных результатов производилась на основании приведенных

ниже рассуждений и эмпирических формул. Количество тепла, поступающего к капле топлива, равно:

$$Q = \alpha (T_r - T_k),$$

где Q — количество тепла, поступающего от газа к поверхности капли, ккал; α — коэффициент теплоотдачи, ккал/м²сек·град; T_r — температура газа, окружающего каплю; T_k — температура поверхности капли, °С.

Массовый поток паров топлива через поверхность S , на которой с наибольшей вероятностью располагается фронт горения, равен:

$$m_s = m_r \left(\frac{d}{d_s} \right)^2,$$

где d — диаметр капли, м; d_s — диаметр сферы, на которой с наибольшей вероятностью располагается фронт горения, м; m_r — массовый поток топлива с единицы поверхности капли в единицу времени, кг/м²·сек.

Из уравнения баланса тепла для капли топлива в потоке газа имеем

$$m_r \left(\frac{d}{d_s} \right)^2 = \frac{\alpha (T_r - T_k)}{q + C_p (T_r - T_k)},$$

где q — скрытая теплота испарения единицы топлива, ккал/кг; C_p — теплоемкость топлива при постоянном давлении, ккал/кг · град. Коэффициент теплоотдачи находился с помощью эмпирической формулы, справедливой для имеющих место в работе аэродинамических условий [7]

$$Nu = 2,8 \frac{\lambda}{d} \varepsilon^{0,5} Re^{0,5}$$

или

$$Nu = \frac{\alpha d}{\lambda} = 2,8 \sqrt{Re'},$$

где Nu — число Нусельта; Re — число Рейнольдса, подсчитанное по средней скорости потока; Re' — число Рейнольдса, подсчитанное по средней пульсационной скорости.

Окончательно получим

$$m_r \left(\frac{d}{d_s} \right)^2 = 2,8 \sqrt{Re'} \frac{\lambda}{d} \frac{(T_r - T_k)}{(T_r - T_k) C_p + q}.$$

Нормальная скорость распространения пламени рассчитывалась по эмпирической формуле:

$$\frac{u_n}{u_0} = \left(\frac{p}{p_0} \right)^{-0,15} \left(\frac{T}{T_0} \right)^{1,8} \cdot \left(\frac{3,42 - 0,1 L}{0,133 L} \right),$$

где u_n — нормальная скорость распространения пламени по гомогенной смеси топливо — воздух, м/сек; L — количество газа (при данной концентрации кислорода), приходящееся на грамм топлива в стехиометрической смеси; $u_0 = 1$ м/сек — нормальная скорость распространения пламени по гомогенной топливо-воздушной смеси при $T_0 = 20^\circ\text{C}$, $p_0 = 1$ ата и $L_0 = 14,7$ (концентрация $O_2 = 21\%$), p — давление; T — температура.

Зависимость нормальной скорости от давления и температуры для гомогенной керосино-воздушной смеси взята из данных Иноzemцева [8], а зависимость от L — аппроксимацией экспериментальных данных

работы [9]. Тогда соотношение Спидинга примет вид

$$m_r \left(\frac{d}{d_s} \right)^2 = A \frac{u_n \rho}{L},$$

где A — коэффициент пропорциональности, отражающий влияние различных неучтенных факторов (например, влияние мелкомасштабной турбулентности на нормальную скорость).

Строилась зависимость $\frac{u_n \rho}{L}$ от m_r (рис. 5). Видно, что тангенс угла наклона меняется с изменением содержания кислорода в потоке. На рис. 6 эта зависимость дается в явном виде. Через K обозначено соотношение $K = \left(\frac{d}{d_s} \right)^2 : A$. Зависимость величины K от концентрации кислорода и неизменность при изменении других параметров свидетельствуют о том, что коэффициент A можно считать постоянным, так как последний не может меняться в зависимости от концентрации кислорода. Все изменения K следует отнести за счет изменения соотношения $\frac{d}{d_s}$, т. е., другими словами, радиуса наиболее устойчивого положения пламени.

Оно находится вблизи стехиометрического соотношения паров топлива и воздуха и с увеличением концентрации кислорода сферка наиболее устойчивого положения пламени приближается к поверхности капли. Это качественно согласуется с выводами диффузионной теории горения капли, но требует дополнительной экспериментальной проверки.

Из приведенных экспериментов видно, что устойчивость индивидуального факела горения капель при движении ансамбля их

Рис. 6. Зависимость K от концентрации кислорода в газе.

в турбулентном потоке может быть описана соотношением Спидинга, однако при этом требуется введение некоторого эмпирического коэффициента, зависящего в основном от концентрации кислорода в газовой фазе.

В заключение авторы выражают благодарность П. Ф. Екимову, Д. Г. Черных, Л. С. Мироновой за помощь в проведении экспериментов.

Поступила в редакцию
21/1 1968

ЛИТЕРАТУРА

- Д. Спидинг. Вопросы горения и детонационных волн. М., Оборонгиз, 1958.
- Л. П. Латонина, В. А. Федосеев, Д. И. Полещук. Тр. Одесского гос. ун-та, т. 150, сер. физ. наук, вып. 7. Одесса, 1960.
- Ф. А. Агафонова, М. А. Гуревич, Е. Ф. Тарасова. III Всесоюзн. совещ. по теории горения, т. II, М., 1960.
- May Jurnal of scientific instruments, 1945, 22, 10, 187.
- Р. Ф. Андерсон. Применение аэрозолей в сельском хозяйстве. Под ред. Амелина. Гостехиздат, 1956.
- Н. О. Хинце. Турбулентность. М., 1963.
- Б. Д. Кацнельсон, И. И. Палеев, Р. С. Тюльпанов. III Всесоюзн. совещ. по теории горения, т. II, М., 1960.
- Иоземцев. Эмпирическое исследование скорости распространения пламени различных углеводородных — воздушных смесей. Госкомитет Совета Министров СССР по авиац. техн., 1959.
- Даггер, Симон, Герстейн. Основы горения углеводородных топлив. М., 1960.